

# О КРИТЕРИЯХ ПРОЧНОСТИ И ФИЗИЧЕСКИХ ЗАВИСИМОСТЯХ БЕТОНА В ПЛОСКОМ НАПРЯЖЕННОМ СОСТОЯНИИ

*Яременко Е.А. (Одесса)*

Предложены нелинейные физические зависимости для бетона, работающего в условиях плоского напряженного состояния. Полные диаграммы учитывают ортотропию деформирования и влияние плоского напряженного состояния на прочность и деформации бетона.

Для большинства строительных материалов закон Гука справедлив лишь в области малых деформаций. Диаграмма напряжение – деформация  $\sigma - \varepsilon$  при растяжении или сжатии для некоторой величины напряжения становится нелинейной, а после разгрузки появляются остаточные деформации. Такие материалы называются упругопластичными.

Условия, при которых в данной точке тела происходит переход из упругого состояния в пластическое называются условиями текучести (пластичности). Применительно к бетону эти условия обычно трактуются как критерии прочности. Подробный анализ теорий прочности бетона можно найти в книге Н.И. Карпенко [1].

Критерии прочности, учитывающие особенности сопротивления бетона при сложном напряженном состоянии и, в значительной степени соответствующие опытным данным для плотных бетонов, предложены в работах Г.А. Гениева, Н.И. Карпенко, В.М. Круглова, К.Л. Лукши, А.-И. И. Ноткуса, А.В. Яшина и других ученых.

С точки зрения практического использования удобен критерий прочности А.-И.И. Ноткуса [2]:

$$\sqrt{\frac{1+\mu_i}{3}\sigma_\phi + 3(1-2\mu_i)\sigma_{cp}^2} \leq R_c \quad (1)$$

где  $R_c$  – прочность бетона при сжатии;  $\mu_i$  коэффициент поперечных деформаций, зависящий от напряжений.

$$\sigma_\phi = (\sigma_1 - \sigma_2)^2 + (\sigma_2 - \sigma_3)^2 + (\sigma_3 - \sigma_1)^2 \quad (2)$$

Положительные главные напряжения  $\sigma_1, \sigma_2, \sigma_3$  в формуле (2) умножаются на  $m = R_c/R_t$  ( $R_t$  – прочность бетона при растяжении). Если

$$\sigma = (\sigma_1 + \sigma_2 + \sigma_3)/3 \quad (3)$$

положительно, то  $\sigma_{cp} = m \cdot \sigma$ , иначе  $\sigma_{cp} = 0$

В случае плоского напряженного состояния условие прочности (1) принимает вид:

- двухосное растяжение ( $\sigma_3 = 0, \sigma_1 \geq \sigma_2$ )

$$\sqrt{\sigma_1^2 + \sigma_2^2 - 2\mu_i \sigma_1 \sigma_2} \leq R_t \quad (4)$$

- двухосное сжатие-растяжение ( $\sigma_1 = 0, \sigma_2 > \sigma_3$ ); если

$$\sigma_2 + \sigma_3 > 0 \text{ то}$$

$$\sqrt{\frac{2(1+\mu_i)}{3} (m^2 \sigma_2^2 - m \sigma_2 \sigma_3 + \sigma_3^2)} \leq R_c \quad (5)$$

- двухосное сжатие ( $\sigma_1 = 0, \sigma_2 \geq \sigma_3$ )

$$\sqrt{\frac{2(1+\mu_i)}{3} (\sigma_2^2 - \sigma_2 \cdot \sigma_3 + \sigma_3^2)} \leq R_c \quad (6)$$

Сравнение теоретических и экспериментальных данных выполнено на рис.1.

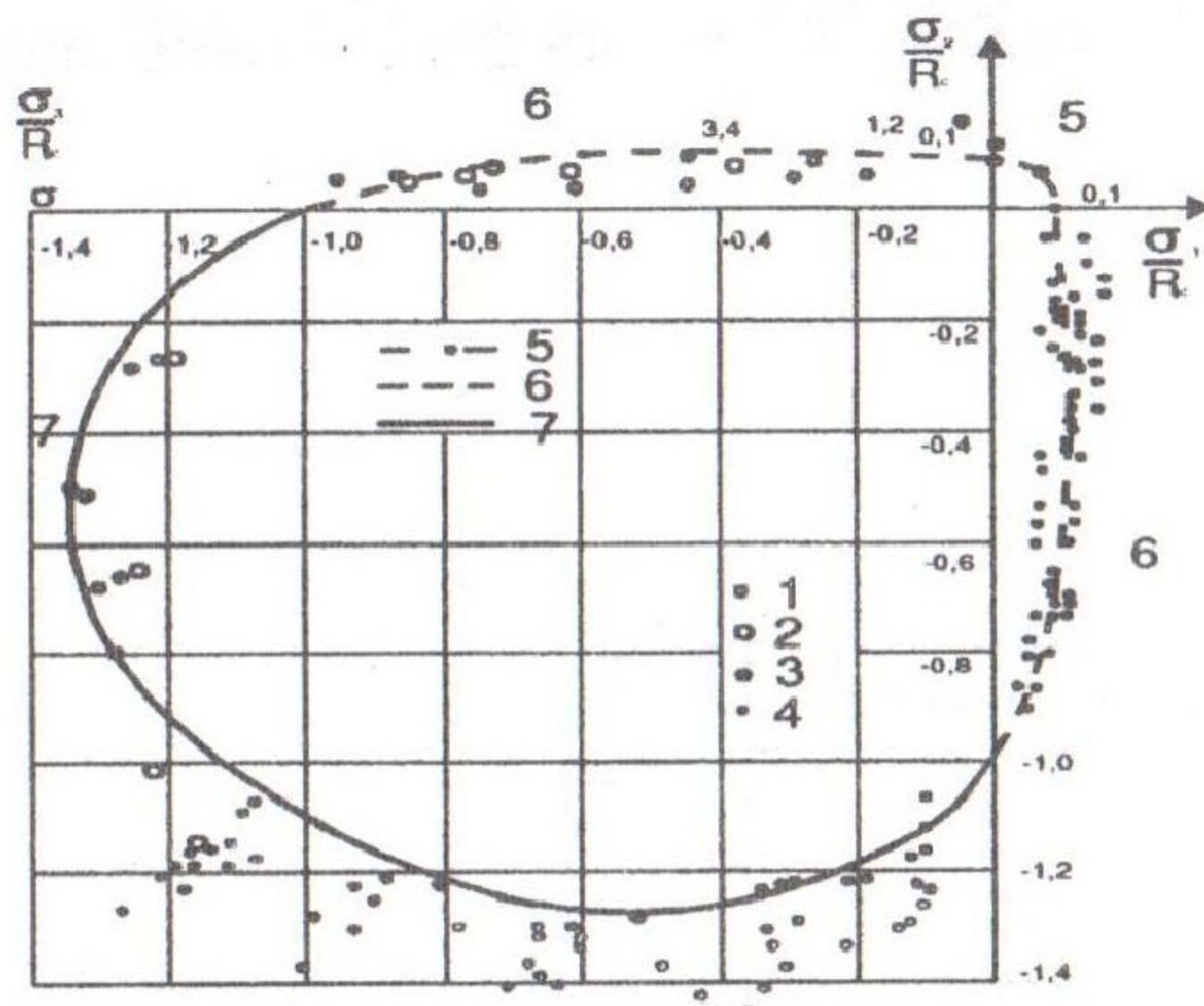


Рис. 1. Прочность бетона в плоском напряженном состоянии  
Экспериментальные данные : Н. Купфера [3] 1,2,3 – для бетонов  
прочностью 58,3 МПа, 30,5 МПа, 18,7 МПа соответственно; 4 – Л.К.

Лукши [4], С. Кобаяши и В. Коянаги [5]. 5,6,7 – расчетные данные, согласно формул (4), (5), (6) соответственно, при  $\mu_i = 0,2 = const$ .

Уравнения пластичности А.А. Ильюшина [6] удобно представить в виде закона Гука [7]

$$\varepsilon_x = \frac{1}{E^*} [\sigma_x - \mu^* (\sigma_y + \sigma_z)], \dots, \gamma_{xy} = \frac{2(1+\mu^*)}{E^*} \tau_{xy} \quad (7)$$

Параметры  $E^*$  и  $\mu^*$  называются переменными параметрами упругости

$$E^* = E_c, \mu^* = \frac{1}{2} - \frac{1-2\mu}{2} \cdot \frac{E_c}{E} \quad (8)$$

где  $E_c$  секущий модуль деформации, существенно зависящий от напряженного состояния в рассматриваемой точке тела. Менее значимой является поправка коэффициента Пуассона. Следовательно, физические зависимости (8) – нелинейные. Метод переменных параметров упругости позволяет свести решение задачи деформационной теории пластичности к решению задачи теории упругости. Поскольку значения  $E_c$  и  $\mu^*$  заранее неизвестны, то задача решается методом последовательных приближений.

Будем считать, что в плоском напряженном состоянии бетон работает в направлении главных напряжений  $\sigma_3 \leq \sigma_2 (\sigma_1 = 0)$  как ортотропный материал. Ортотропия приобретается в процессе роста напряжений в силу неодинакового деформирования при сжатии и растяжении. Направление осей ортотропии определяется ориентацией площадок главных напряжений. В рамках этой модели физические зависимости [7] принимают вид

$$\{\varepsilon\} = [c]\{\varepsilon\} \quad (9)$$

где

$$\{\varepsilon\} = \begin{Bmatrix} \varepsilon_3 \\ \varepsilon_2 \end{Bmatrix}, \{\sigma\} = \begin{Bmatrix} \sigma_3 \\ \sigma_2 \end{Bmatrix}, [c] = \begin{bmatrix} \frac{1}{E_3} & -\frac{\mu_2}{E_2} \\ -\frac{\mu_3}{E_3} & \frac{1}{E_2} \end{bmatrix} \quad (10)$$

$E_3$  и  $E_2$  – секущие модули деформаций, определяемые по диаграммам деформирования.

Если принять, что  $\mu_2 \approx \mu_3 E_2 / E_3$  то матрица  $[C]$  формально становится близкой к матрице  $[C]$  для изотропного материала

$$[C] = \frac{1}{E_3} \begin{bmatrix} 1 & -\mu_3 \\ -\mu_3 & k \end{bmatrix} \quad (11)$$

где

$$k = \frac{E_3}{E_2} \quad \mu_3 = \frac{1}{2} - \frac{1-2\mu}{2} \frac{E_3}{E} \quad (12)$$

При осевом сжатии полная диаграмма деформирования бетона может быть представлена в виде [1]

$$\varepsilon_b = \sigma_b / (E_b \nu_b) \quad (13)$$

где  $\varepsilon_b$ ,  $\sigma_b$ ,  $E_b$  относительные деформации, напряжения и начальный модуль упругости бетона;  $\nu_b$  - коэффициент изменения секущего модуля;  $E_b \nu_b$  - секущий модуль.

$$\nu_b = \hat{\nu}_b \pm (\nu_0 - \hat{\nu}_b) \sqrt{1 - \omega_1 \eta - \omega_2 \eta^2} \quad (14)$$

$\hat{\nu}_b$  - значение коэффициента  $\nu_b$  в вершине диаграммы;  $\nu_0$  - значение коэффициента  $\nu_b$  в начале диаграммы;  $\omega_1$ ,  $\omega_2$  - параметры, кривизны диаграммы;  $\eta$  - уровень напряжений.

$$\hat{\sigma}_b = \hat{\varepsilon}_b / (\hat{\nu}_b E_b), \quad \eta = \sigma_b / \hat{\sigma}_b, \quad \omega_2 = 1 - \omega_1; \quad (15)$$

$\hat{\sigma}_b$ ,  $\hat{\varepsilon}_b$  - соответственно предельное напряжение и деформация в вершине диаграммы.

В плоском напряженном состоянии  $\hat{\sigma}_b$  изменяется

$$\hat{\sigma}_b = k_i R_c \quad (16)$$

$k_i$  - коэффициент, учитывающий влияние двухосного напряженного состояния:

- при двухосном сжатии, когда  $n = \sigma_2 / \sigma_3 < 1$  - согласно (6), для  $i=3$

$$k_i = 1 / \sqrt{\frac{2(1 + \mu_i)}{3} (n^2 - n + 1)} \quad (17)$$

- при двухосном сжатии-растяжении, когда  $\sigma_2 + \sigma_3 < 0$ , согласно (5), для  $i = 3$

$$k_i = 1 / \sqrt{\frac{2(1 + \mu_i)}{3} (m^2 n^2 - mn + 1)} \quad (18)$$

Для восходящей ветви диаграммы принимается знак плюс и  $\nu_0 = 1$ ,  $\omega_1 = 2 - 2,5 \hat{\nu}_b$ . Для нисходящей ветви диаграммы принимается

знак минус и  $\nu_0 = 2,05\hat{\nu}_b$ ,  $\omega_1 = 1,95\hat{\nu}_b - 0,14$

$$\hat{\varepsilon}_b = \frac{B_i}{E_b} \cdot \frac{1 + 0,75 \cdot B_i/60}{0,12 + B_i/60}, \quad B_i = k_i \cdot B, \quad B = \frac{R_c}{0,77 - 0,0012 R_c} \quad (19)$$

где  $B$  – класс бетона в МПа

Для построения диаграммы деформирования бетона при осевом растяжении в зависимостях (13)-(15) необходимо ввести новые значения параметров, связанные с растяжением

$$\hat{\nu}_{bt} = 0,6 + 0,15R_t/25$$

$$\hat{\sigma}_{bt} = k_{it} R_t, \quad \hat{\varepsilon}_{bt} = \hat{\sigma}_{bt} / (E_{bt} \hat{\nu}_{bt})$$

При двухосном растяжении-сжатии, когда  $\sigma_2 + \sigma_3 < 0$ , для  $i = 2$

$$k_{it} = 1 \sqrt{\frac{2(1 + \mu_i)}{3} \left( 1 - \frac{1}{mn} + \frac{1}{m^2 n^2} \right)}$$

Экспериментальные кривые  $\sigma - \varepsilon$  сопоставлены с теоретическими на рис. 2.

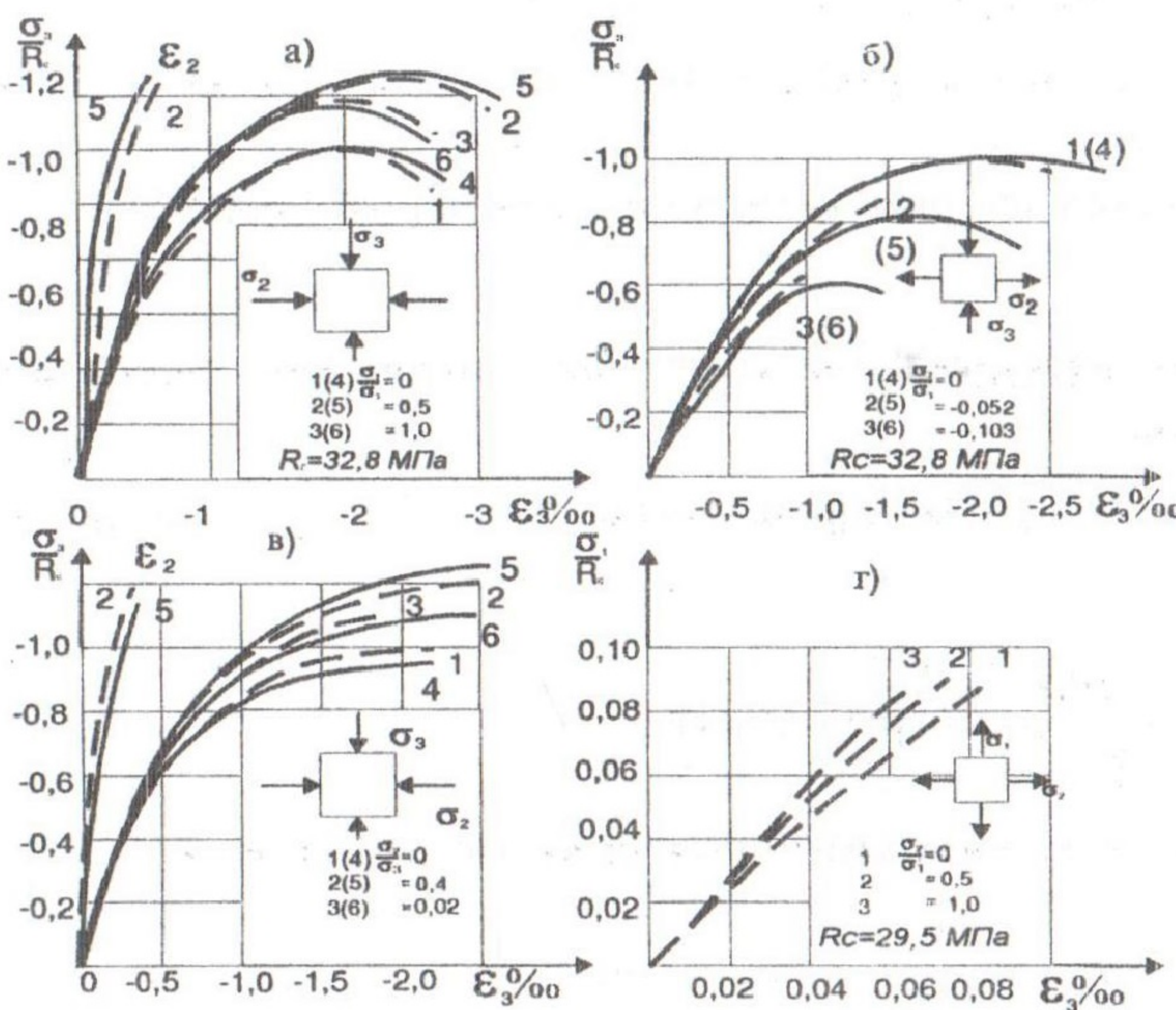


Рис. 2. Диаграммы деформирования бетона в плоском напряженном состоянии.

Экспериментальные данные: (1, 2, 3 – пунктирные кривые) – а, б, г

– Х. Купфера [8], в – Х. Опитца [9]. Расчетные данные : (4, 5, 6 – сплошные кривые) согласно формул (9) – (19) при  $\mu = 0,2 = \text{const}$ .

Соответствие опытных и расчетных величин, представленных на рис. 1 и 2, позволяет рекомендовать приведенные физические зависимости для применения в расчетах плосконапряженных железобетонных конструкций.

### Литература

1. Карпенко Н.И. Общие модели механики железобетона. – М: Стройиздат, 1996.-44с.
2. Ноктус А. – И.И. Вариант единой теории пластичности для бетона и металла. Сб. “Прочность бетона и железобетона (Железобетонные конструкции, №10)” - Вильнюс: 1980, с. 73-82.
3. Kupfer H.B. Das nicht-lineare Verhalten des Betons bei zweiahtziger Beanspruchung // Beton und – Stahlbetonbau. 1973, №11, pp. 269-274.
4. Лукша Л.К. Прочность трубобетона. – М: Вища школа, 1977. – 96 с.
5. Kotsovos M.D., Newmann I.B. A mathematical Description of the Deformational Behavior of Concrete under Complex Loading // Magazine of Concrete Reserch, 1979, June, Vol. 31, №107, pp. 77-90.
6. Ильюшин А.А. Пластичность. – М. –Л.: Гостехиздат, 1948. – 376 с.
7. Биргер И.А., Мавлютов Р.Р. Сопротивление материалов. – М: “Наука”, 1986. – 560 с.
8. Kupfer H. Das Verhalten des Betons unter zweiachsiger Beanspruchung. – Internationales kolloquium “Festigkeitsprobleme des Betons”, Wiss. Z. Techn. Univers. Dresden 17 (1968), H. 6.
9. Opitz H. Festigkeit und Verformungseigenschaften des Betons bei zweiachsiger Druckbeanspruchung. Там же.